

Mekanik Aortik Kapak Protez Çap› ile Sol Ventrikül Hipertrofisinin Gerilemesi Aras›ndaki İlīki

THE RELATIONSHIP BETWEEN MECHANICAL AORTIC VALVE DIAMETER AND REGRESSION OF LEFT VENTRICULAR HYPERTROPHY

Uğur Filizcan, Gökcen Orhan, Yébnem Cetemen, Murat Sargin, Celalettin Karatepe, Süheyda Keser, Onur Göksel, Zeliha Alçuk, Hakk Aydogan, Serap Aykut Aka, Ergin Eren

Dr. Siyami Ersek Göüs Kalp Damar Cerrahisi Merkezi, Kalp Damar Cerrahisi Kliniği, İstanbul

Özet

Amaç: Aort stenozlu hastalarda aort kapak replasman›ndan sonra sol ventrikül hipertrofisinde gerileme gözlenir. Çal›mam›zda protez kapak çaplar› ile sol ventrikül hipertrofisinin gerilemesi aras›ndaki ilīkiyi araştır›rdık.

Materyal ve Metod: Ciddi aort darlı¤a nedeniyle aort kapak replasman› uygulanan 18 hastan›n 2'sine 19 mm, 7 hastaya 21 mm, 8 hastaya 23 mm, 1 hastaya 25 mm standard biliflet aortik prostetik kapak tak›ldı. Ameliyat öncesi (3 ± 1 gün) ve ameliyattan 6 ay sonra transtorasik ekokardiyografik ölçümler yapıldı. Kullan›lan protez kapak çaplar› ile postoperatif 6 ayda sol ventrikül kitle indeksindeki gerileme aras›ndaki ilīkiyi araştır›rdık.

Bulgular: Postoperatif 6. ay ekokardiyografik kontrollerinde sol ventrikül kitesi tüm gruplarda azalm›¾ olarak saptandı. Bu azalma 25 nolu kapakta ($p < 0.001$) ve 23 nolu kapaklarda anlamlı ($p < 0.01$) düzeyde iken 19 nolu kapaklarda öünsüz düzeyde idi. Çal›mam›zda 19 ve 21 nolu kapaklar›n kendi aralar›nda az bir gradiyent fark› varken bu kapaklarla daha büyük çapl› kapaklar aras›nda önemli gradiyent farklar›n›n olduğunu gözlemedi.

Sonuç: Tak›lan küçük çapl› kapaklar›n reziduel gradiyentlerinin daha fazla olmas› nedeni ile sol ventrikül kitesindeki azalmaya kat›lar›n›n daha az olduğunu saptadık.

Anahtar kelimeler: Aort stenozu, aort kapak replasman›, ventriküler hipertrofi, hipertrofinin gerilemesi, kitle indeksi

Türk Göüs Kalp Damar Cerrahisi Derg 2002;10:135-138

Summary

Background: Valve replacement in aortic stenosis results in regression of left ventricular hypertrophy. The aim of this study was to define the relation between the diameters of prosthetic valves and the regression in left ventricular hypertrophy.

Methods: The echocardiographic findings, preoperatively and sixth months postoperatively, of 18 patients who underwent aortic valve replacement (in 2 patients 19 mm, in 7 patients 21 mm, in 8 patients 23 mm, in 1 patient 25 mm bileaflet aortic prosthetic valves were used) were obtained. The relation between the diameter of the prosthesis and the regression in ventricular hypertrophy was compared.

Results: We found that left ventricular mass index diminished by echocardiographic controls made in postoperative sixth months after operation. These findings were significant with 25 mm ($p < 0.001$) and 23 mm prosthetic valves ($p < 0.01$), but found insignificant with 19 mm prosthetic valves. We determined that the gradient difference between the 19 and 21 sized valves were not much significant while the difference between them and the larger sized valves were higher.

Conclusions: We found out that the effect of the residual gradient in small sized prosthetic valves was greater, as a result regression in left ventricular mass index was less.

Keywords: Aort stenosis, aortic valve replacement, ventricular hypertrophy, regression in hypertrophy

Turkish J Thorac Cardiovasc Surg 2002;10:135-138

Giri¾

Günümüzde aort kapak cerrahisi, aç›k kalp cerrahisi operasyonları›n önemli bir grubunu olu¾turmaktadır. Aort stenoz veya yetmezli¤i, bas›ncı ya da volüm yükü olu¾turarak sol ventrikülde yap›sal de¾i¾ikliklere yol açmaktadır. Aort stenozu vakalar› ba¾lang›çta sol ventrikül ç›km yolu

obstrüksiyonuna adaptasyon mekanizmalar› geli¾tirir, konsantrik hipertrofiye yol açarlar. Sol ventrikül duvar kal›nl›¤a artar ve sol ventrikül kitesi 2-3 kat›na kadar ç›kar. Çaplar relativ olarak artm›¾ olsa bile, ancak ileri dönemde sol ventrikül dilatasyonu görülebilir. Sol ventrikül hipertrofisi, s›kl›kla duvar kal›nla¾mas› veya miyokardiyum içindeki morfolojik de¾i¾ikliklerle birliktir. Bunun sonucunda sol ventrikül kompliyans› dü¾er, dolu¾ bas›nc› yükselir. Bu

Adres: Dr. Uğur Filizcan, Manastır Mevki Yakamoz Sokak, Belde 2 Sitesi No: 8 Tuzla, İstanbul
e-mail: ugurfilizcan@ixir.com

durum özellikle stres srasında belirgin hale gelir. Biz çalısmamızda aort stenozlu, prostetik kapak takılan vakalarda kullanılan mekanik kapağın boyutu ile sol ventrikül fonksiyonları etkileşimini araştırıldık.

Materiyal ve Metod

Ocak 1998 ve Aralık 1999 arasında aortik valvuler stenozdan dolayı merkezimizde opere edilen 25 hasta prospektif olarak çalışmamaya alındı. Çalışmamaya alınan hastaların hiçbirisi daha önce herhangi bir kardiyak operasyon geçirmemiştir. Postoperatif dönemde 7 hasta gelişen kardiyak komplikasyonlar (2 hasta gelişen atriyal fibrillasyon, 1 hasta orta derecede mitral yetmezlik, 2 hasta postperikardiyotomi sendromu, 1 hasta hemiparezi, 1 hasta NYHA klas III) sonucu çalışmamadan çıktılar. Kalan 18 hasta ayağında sınırlı retrospektif kriterlere göre çalışmamaya dahil edildiler.

- Operasyon öncesi hastaların sinüs ritminde olması.
- Aort darlığından belirgin olmasa
- Operasyon sonrası NYHA fonksiyonel sınımların 1-2 olması
- Hiçbir hastaya aortik kapak takılması dısında ek bir celiği rıtmik aralıkları göstermemesi
- Hastaların operasyondan önceki 1-4. hafta içinde ekokardiyografik ölçümlerinin yapılmaması
- Hastaların postoperatif periyodda sinüs ritminden devam etmemesi

Onsekiz hastanın 9'u erkekti. Hastaların yaş ortalaması 55 ± 7 yıl idi. Çalışmamaya uygun bulunan 18 hastaya St Jude Medical (St. Jude Medical Inc, One Lillehei Plaza St. Paul, MN 55117 USA) biliflet mekanik kapak takıldı. Hastaların 2'sine 19 no, 7 hastaya 21 no, 8 hastaya 23 no, 1 hastaya 25 no kapak takıldı. Çalışmamaya uygun bulunan 18 hastanın kontrol ekokardiyografileri operasyondan sonraki 6 ile 8. aylar arasında yapıldı. Ekokardiyografik iki boyutlu, M - Mode ve Doppler ölçümleri Hewlett - Packard Sonos 1000 (Hewlett Packard Co, Palo Alto, Calif) sistem 3.5 Mhz. transducer ile yapıldı. Tüm ölçümler Super VHS video bandına kaydedildi. M - mode ölçümler telediyastolik interventriküler septum kalınlığı (IVSK), sol ventriküler posterior duvar kalınlığı (PDK), sol ventrikül diyastol sonu çapları (SVDSÇ) ve telesistolik sol ventrikül sistol sonu çapları (SVSSÇ) papiller kasları hemen üzerindeki korda tendinolar seviyesinden Amerikan Ekokardiyografi Derneği önerileri doğrultusunda ölçüldü. Tüm ölçümler 4-5 kez tekrarlandı. Sol ventrikül kitlesi (SVK) Devereux ve Reischek formülü ile hesaplandı. Sol ventrikül kitle indeksi (SVKI) = (SVK / vücut yüzey alan) olarak hesaplandı. Ejeksiyon fraksiyonu (SVDSÇ - SVSSÇ / SVDSÇ) formülü ile hesaplandı. Doppler Ekokardiyografi; renkli akım doppler ile apikal beşlikluktan ve kapak seviyesinden sol ventrikül çıkış yolunu üzerindeki akım hızı kaydedildi. Pik transaortik gradiyent

Tablo 1. Hasta gruplarının preoperatif demografik ve hemodinamik verileri.

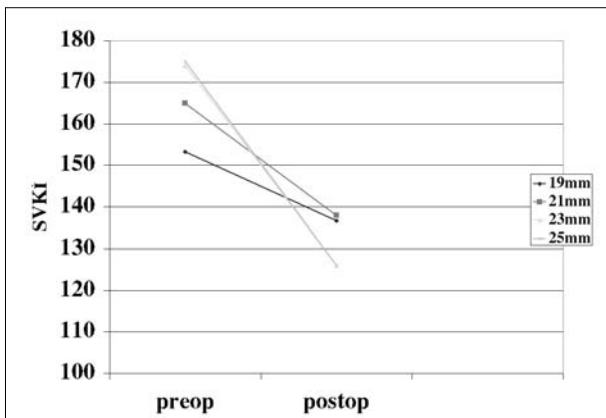
Kapak numarası	19 mm (2)	21 mm (7)	23 mm (8)	25 mm (1)
Yaş (yıl)	55.5 ± 5.5	58.1 ± 4.9	53.3 ± 11.4	61
Vücut yüzey alanı (m^2)	1.7 ± 0.12	1.64 ± 0.11	1.71 ± 0.18	1.78
Erkek	-	3	5	1
Kadın	2	4	3	-
NYHA sınıfı	1-2	1-2	1-3	1-2
Sistolik arteriyel basıncı (mmHg)	128 ± 12	121 ± 14	130 ± 14	125 ± 11
Diyastolik arteriyel basıncı (mmHg)	70 ± 5	68 ± 8	74 ± 5	70
Kalp hızı	84 ± 5	83 ± 12	76 ± 11	78

Tablo 2. Grupların preoperatif ve postoperatif ekokardiyografik verilerinin karşılaştırılmış tablosu.

	19 mm (n = 2) preop - postop	21 mm (n = 7) preop - postop	23 mm (n = 8) preop - postop	25 mm (n = 1) preop - postop
SVDSÇ (mm)	40.4 ± 2.5 - 40.6 ± 2.6	41.1 ± 4.6 - 40.9 ± 5	43 ± 4.5 - 43.2 ± 3	45 - 46
SVSSÇ (mm)	20.1 ± 1.8 - 20.2 ± 1.6	20.2 ± 2 - 20.4 ± 1.2	20.5 ± 18 - 21.1 ± 2	22 - 24
IVST (mm)	14.3 ± 1.2 - 13.4 ± 1.3	15.2 ± 2.1 - 13 ± 2	$*15.2 \pm 1.2$ - 12.2 ± 1.4	14.9 - 12.3
PDK (mm)	13.9 ± 1.3 - 12.6 ± 1.2	14.3 ± 2.3 - 12.6 ± 1.8	$*14.7 \pm 2.1$ - 11.9 ± 2.3	14.8 - 12.1
SVKI (gr/m ²)	153.2 ± 24 - 136.7 ± 25	165 ± 34 - 138 ± 36	$*174 \pm 45$ - 126 ± 39	$**175$ - 126
EF %	65 ± 5 - 64 ± 6	66 ± 4 - 64 ± 4	63 ± 6 - 60 ± 5	61 - 60
FS	34 ± 3 - 33 ± 3	35 ± 2 - 34 ± 2	32 ± 3 - 31 ± 2	32 - 31
MSG (mmHg)	$*61 \pm 12$ - 17.5 ± 8	$*56 \pm 15$ - 15 ± 6	$*55 \pm 21$ - 12 ± 6	$**58$ - 10

* = $p < 0.01$; ** = $p < 0.001$; EF = ejeksiyon fraksiyonu; FS = fraksiyonel ksalma; IVST = interventriküler septum kalınlığı; MSG = maksimum sistolik gradiyent; PDK = posterior duvar kalınlığı; SVKI = sol ventrikül kitle indeksi; SVDSÇ = sol ventrikül diyastol sonu çapı; SVSSÇ = sol ventrikül sistol sonu çapı

Şekil 1. Aort valv replasman›n›n›nd› sol ventrikül kitle indeksinde (SVKI gr/m^2) regresyon.



SVKI = sol ventrikül kitle indeksi

modifiye Bernouilli formülü ile hesaplandı.

Kullanılan protez kapak çaplarına göre ameliyat öncesi ve alt›yay sonraki SVKI hesaplanarak, de¤erler istatistiksel olarak SPSS program›nda paired t testi ile kar›la‰tırıldı.

Bulgular

Büyük nolu kapak implant edilen hastalar, küçük nolu kapak implant edilen hastalara göre daha büyük vücut yüzey alan›na sahiplerdi. Gruplar aras›nda ya‰, cins, kan bas›nc›, kalp h›z›, fonksiyonel kapasiteleri aç›s›ndan istatistiksel olarak anlamlı bir fark yoktu (Tablo 1).

Gruplar›n preoperatif ve postoperatif 6. aya ait ekokardiyografik de¤erleri Tablo 2'de özetlenmi‰tir. Postoperatif kontrollerde hiçbir hasta perivalvuler kaçak gözlemedi. Hastalar›n %50'sinde hafif derecede santral regurjitan kaçak mevcuttu. Sol ventrikül çapları ve sol ventrikül sistolik fonksiyon parametrelerinde istatistiksel önemi olan de¤i‰klikler saptanmadı. Ancak sol ventrikül kitle indeksi tüm gruptarda azalmış olarak bulundu. Bu azalma 25 nolu kapakta ($p < 0.001$) ve 23 nolu kapaklarda ($p < 0.01$) düzeyde iken, 21 ve 19 nolu kapaklarda istatistiksel olarak önemliz düzeyde idi (Şekil 1).

Doppler ultrasonografi ile belirlenen transvalvular ak›m h›z› ve gradiyentlerinin kapak büyülü¤ü art›¤ça azald›¤ı görüldü. 19 ve 21 nolu kapaklar aras›nda az miktarda gradiyent fark› varken bu kapaklarla büyük kapaklar (23-25 mm) aras›nda önemli gradiyent fark› oldu¤u görüldü (Tablo 2).

Tart›‰ma

Aort stenozlu hastalarda sol ventrikül bas›nc› kronik olarak art›¤ır. Sol ventrikül duvar stresi (miyokardiyumun birim ünitesi tarafl›ndan olu‰turulan güç) ile ejeksiyon fraksiyonu aras›ndaki ili‰kiyi korumak için sol ventriküler kitle ve geometrisinde adaptif de¤i‰klikler meydana gelir, konsantrik sol ventrikül hipertrofisi gelir. Bu adaptasyon mekanizmalar› sayesinde yüksek intrakaviter bas›nç kompanse edilir [1,2]. Postoperatif yapay kapaklar›n de¤erlendirilmesinde doppler

ekokardiyografi ile güvenilir sonuçlar al›nır [3-6]. Posterior duvar kal›nl›¤›n›n, sol ventrikül enddiyastolik çap›na bölünmesi ile elde edilen diyastolik relatif duvar kal›nl›¤› (%10-15) art›¤ı nedeniyle SVKI'ya etkili olabilir [6]. Bu muhtemelen iki nedenden dolayı olabilmektedir. Hipertrofik kalpte intraoperatif miyokard korumas›n› optimal düzeyde sa¤lamak güçtür. Hipertrofik kalpte koroner kan ak›m› rezervinde de¤i‰klikler olmaktadır [8]. Literatürde aort kapak replasman›n›n intrakaviter ak›m akselerasyonu belirgin olan hastalarda postoperatif komplikasyon oran›n›n artt›¤ı görülmektedir [9]. Preoperatif olarak saptanan ventriküler ektopik at›mlar, antianjinal tedavi, antiaritmik tedavi, ileri ya‰ ve erkek cinsiyet risk faktörleri olarak belirlenmişdir [10,11]. Bizim çalışmam›zda erkek cinsiyet hariç diğer risk faktörlerini ta‰yan hasta bulunmamakta idi.

Aort kapak stenozunun yapay kapak replasman›n› yap›larak tedavisi sonucunda, sol ventrikül fonksiyonlarında düzelleme ve hipertrofide gerileme olmaktadır. Preoperatif ve postoperatif kardiyak kateterizasyon verileri karla‰tırıld›¤ında sol ventrikül kitesinde azalma, ortalama ak›m h›z›nda, çevresel miyofibriller k›salma (circumferencial fiber shortening) ve ejeksiyon fraksiyonunda artma, sol ventrikül diyastol sonu volum indeksi ve kardiyak indekste ise de¤i‰meler olabilir [12]. Aort yetmezli¤inin cümlilik etti¤i vakalarda biplan sol ventriküler anjiyografi kateterizasyon ile sol ventrikül diyastol sonu volum/m², sistol sonu volum/m², ejeksiyon fraksiyonu, sol ventrikül kitle/m² ve strok volumde de¤erin önemlili miktarda düzelleme saptanabilir [13]. Bizim çalışmam›zda tüm gruptarda sol ventrikül kitle indeksinde azalma saptad›k. Ejeksiyon fraksiyonu ile ilgili bir de¤i‰klik ise saptanmadı, fakat bizim çalışmam›zda daki hastalar›n preoperatif ejeksiyon fraksiyonu de¤erleri bozulmu‰dır.

Operasyondan sonra 6. ayda olu‰an sol ventrikül kitle regresyonu 19 nolu kapaklarda k›‰tl› miktarda, 21 nolu kapaklarda biraz daha fazla ve daha büyük kapaklarda önemli miktarda bulundu. Yap›lan çalışmam›zda doppler ultrasonografi ve transseptal kateterizasyon uygulayarak belirlenen transvalvular ak›m h›z› ve gradiyentlerinin kapak numaras› art›¤ça azald›¤ı saptanmıştır [14-16]. Bizim çalışmam›zda da 19 ve 21 nolu kapaklar aras›nda az miktarda gradiyent fark› varken bu kapaklarla büyük kapaklar aras›nda önemli gradiyent fark› bulundu.

Tüm kapaklarda saptad›¤›m›z sol ventrikül kitle indeksi azalmas› küçük kapaklarda, kapak tak›lan hastalar›n vücut yüzey alan› daha ufak olmas›na rağmen daha az idi. Küçük kapaklarda gözlemlenen bu regresyonun daha az olmas›‰u faktörlere ba¤lı olabilir:

1. Yukarıda bahsetti¤imiz gibi küçük numaralı kapaklarda rezidüel bir gradiyent kalmaktadır. Bu rezidüel gradiyent küçük kapaklar›n egzersiz s›ras›nda suboptimal hemodinami göstergelerine yol açmaktadır. Küçük aortik mekanik protezlerde eksersiz s›ras›nda gradiyent 125 mmHg'ya kadar yükselebilir [17,18].
2. Sol ventrikül kitle regresyonu geni‰ kapak tak›lanlara oranla küçük kapak tak›lanlarda daha yavaş olabilir. Aort stenozundaki diyastolik katla‰ma aort kapak replasman›n›n erken dönemde intertsiyel fibrozisin relatif art›¤ı ile paraleldir. Halbuki relaksasyon h›z› sol ventriküldeki kas

kitlesinin düşmesi ile azalır. Böylece disfonksiyondaki geriye dönük yollar alır ve bu interstisyal fibrozisteki yavaş regresyon ile birlikte [19,20]. Cerrahi sonrası sol ventriküler miyokardiyal katlaşıma aort stenozlu hastalarda belirgin olarak artar, aort yetmezlik hastalarında ise deinde iyimez. Miyokardiyal yapısıdaki postoperatif deinde iklilikler miyofibriller çaplarda azalma ve interstisyal fibroziste relativ artışıla karakterizedir; halbuki fibroz içerik deinde meden kalmaktadır [21]. Dolayısıyla fibrozisteki regresyon uzun zaman alabilir.

Günümüzde birçok yazar 19 ve 21 nolu kapakta vücut yüzey alan 1.7 m^2 den büyük olan hastalara takmamayı, eğer mümkünse kök genişletmesi yaparak en az 23 numara kapak takmayı önermektedirler [22,23]. Uzun dönem aortik kapak replasmanı takiplerinde vücut yüzey alan $> 1.9 \text{ m}^2$ olup yüksek risk grubu olarak deinde erlendiren hastalardan 19 ve 21 numara kapak takılanları ancak %10'unun 10 yılın sahne gösterdikleri saptanmıştır [10].

Aort stenozlu hastalarda olusan sol ventrikül hipertrofisi aort kapak replasmanı sonrası gerilemektedir. Bu gerileme ufak numaralı standart kapaklılarda yeterli miktarda olmamaktadır. Transvalvular akım hızı ve gradiyenti, küçük kapak numaralı hastalarda (19-21 mm) daha yüksek kalmaktadır. Aort stenozlu hastalarda mevcut sol ventrikül hipertrofisinin yeterli regresyonunun sağlanabilmesi ve rezidüel gradiyentin en minimale indirilebilmesi amacıyla, replasman için standart biliflet mekanik protez, mümkünse en az 23 no mekanik protez ile kapak replasmanının yapılmaması gerekliliğini söyleyebiliriz.

Kaynaklar

1. Grossman WJ, Laurin M Wall stress and pattern of hypertrophy in human left ventricle. *J Clin Invest* 1975;56:56-64.
2. Gaasch WH. Left ventricular radius to wall thickness ratio. *Am J Cardiol* 1979;43:1189-94.
3. Devereux RB, Reichek N. Echocardiographic determination of left ventricular mass in men: Anatomic validation of the method. *Circulation* 1977;55:13-8.
4. Chambers J, Fraser A, Lawford P, Nihoyannopoulos P, Simpson I. Echocardiographic assessment of artificial heart valves. British Society of Echocardiography position paper. *Br Heart J* 1994;71(Suppl):6-14.
5. Chamber JB, Deverall PB. Limitations and pitfalls in the assessment of prosthetic valves with Doppler ultrasonography. *J Thorac Cardiovasc Surg* 1992;104:495-501.
6. Alam M, Rosman HS, Lakier JB et al. Doppler and echocardiographic features of normal and functioning bioprosthetic valves. *J Am Coll Cardiol* 1987;10:851-8.
7. Orsinelli D, Aurigemma G, Battista S, Krendel S, Gaasch W. Left ventricular hypertrophy and mortality after aortic valve replacement for aortic stenosis. A high risk subgroup identified by preoperative relative wall thickness. *J Am Coll Cardiol* 1993;15:1679-83.
8. Maras ML, Harrison DG, Chilion WM, et al. Alterations in the coronary circulation in hypertrophied ventricles. *Circulation* 1987;75:19-25.
9. Aurigemma G, Battista S, Orsinelli D, Sweener AM, Pape L, Cvenoud H. Abnormal left ventricle intracavitory flow acceleration in patients undergoing aortic valve replacement for aortic stenosis: A marker for high postoperative morbidity and mortality. *Circulation* 1992;86:926-36.
10. Kratz J, Sade R, Crawford F, Crumbley A, Stroud M. The risk of small St. Jude aortic valve prostheses. *Ann Thorac Surg* 1994;57:114-9.
11. Lund O. Preoperative risk evaluation and stratification of long term survival after valve replacement for aortic stenosis. *Circulation* 1990;82:124-139.
12. Pantley G, Morton M, Rahimtoola SH. Effects of successful uncomplicated valve replacement on ventricular hypertrophy, volume and performance in aortic stenosis and aortic incompetence. *J Thorac Cardiovasc Surg* 1978;75:383-91.
13. Kuhl HP, Franke A, Puschmann D, Schondube FA, Hanrath P. Regression of left ventricular mass one year after aortic valve replacement for pure severe aortic stenosis. *Am J Cardiol* 2002;89:408-13.
14. Gonzalez-Juanatey JR, Vega Fernandez M, Gude F, Duran Munoz DD, Roman V, Iglesias C. Influence of prosthesis size and left ventricular mass on left ventricular diastolic reserve in patients with aortic valve prostheses. *J Heart Valve Dis* 2001;10:611-8.
15. Gelsomino S, Frassani R, Morocutti G et al. Time course of left ventricular remodeling after stentless aortic valve replacement. *Am Heart J* 2001;142:556-62.
16. Wiseth R, Levang O, Sande E, Tangen G, Skjaerpe T, Hatle L. Hemodynamic evaluation by doppler echocardiography of small (< 21 mm) prostheses and bioprostheses in the aortic valve position. *Am J Cardiol* 1992;70:240-6.
17. Jaffe W, Coverdale A, Roche A, Whitlock L, Neutze J, Barratt-Boyes B. Rest and exercise hemodynamics of 20 to 23 mm allograft, Medtronic Intact (porcine), and St. Jude Medical valves in the aortic position. *J Thorac Cardiovasc Surg* 1990;100:167-74.
18. Ikonomidis I, Tsoukas A, Parthenakis F et al. Four year follow up of aortic valve replacement for isolated aortic stenosis: A link between reduction in pressure overload, regression of left ventricular hypertrophy, and diastolic function. *Heart* 2001;86:309-16.
19. Wiseth R, Levango OW, Tangen G, Rein KA, Skjaerpe T, Hatle L. Exercise hemodynamics in small (<21) aortic valve prosthesis assessed by doppler echocardiograph. *Am Heart J* 1993;124:138-41.
20. Villari B, Vassalli G, Monrad S, Chiariello M, Turina M, Hass O. Normalization of diastolic dysfunction in aortic stenosis late after valve replacement. *Circulation* 1995;91:2353-8.
21. Hess ON, Schneider J, Grimm J, Turina M, Krayenbühl HP. Diastolic stiffness and myocardial structure in aortic valve disease before and after aortic valve replacement. *Circulation* 1984;69:855-65.
22. Murakami T, Kikugawa D, Endou K et al. Changes in patterns of left ventricular hypertrophy after aortic valve replacement for aortic stenosis and regurgitation with St. Jude Medical cardiac valves. *Artif Organs* 2000;24:953-8.
23. Okutan H, Oto Ö, Ünal B ve ark. Aort kapak replasmanı sonrası sol ventrikül kitle deinde ikliliklerinin küçük çaplı St. Jude Medical ve Carbomedics protezlerinde